

논문 15-12-4

## PCFN-PZW계의 마이크로파 유전 특성에 미치는 Pb계 Flux의 영향

### Effect of Pb based Flux on the Microwave Dielectric Properties of PCFN-PZW System

강동현\*, 설충의\*, 차훈주\*, 김영호\*, 길상근\*\*, 조봉희\*\*\*

(D. H. Kang\*, C. E. Seol\*, H. J. Cha\*, Y. H. Kim\*, S. K. Gil\*\*, and B. H. Cho\*\*\*)

#### Abstract

( $\text{Pb}_{0.4}\text{Ca}_{0.6}$ ) $(\text{Fe}_{1/2}\text{Nb}_{1/2})\text{O}_3$  system was modified by 10 mol%  $\text{Pb}(\text{Zn}_{1/2}\text{W}_{1/2})\text{O}_3$  addition and their sinterability and microwave properties were investigated as a function of the amount of flux ( $0.975\text{PbO}-0.025\text{SnO}_2$ ). With increasing flux content, single perovskite phase was maintained up to 3 wt% flux addition and further addition led to the presence of Pb-rich second phase which was confirmed by EDS analysis. The apparent densities of PCFN-PZW specimen increased and showed maximum values at 2.5 wt% flux addition for the  $T_s=1000^\circ\text{C}$  and 2.0wt% flux addition for the  $T_s=1050^\circ\text{C}$ , respectively. The dielectric constant and  $Q \cdot f$  values strongly depended on the variation of density and microstructure, where the optimum values of  $\epsilon_r = 91.95$ ,  $Q \cdot f = 5938\text{GHz}$ ,  $TCF = +8.15\text{ppm}/^\circ\text{C}$  were obtained for the 2.5wt% flux added PCFN-PZW specimen sintered at  $1000^\circ\text{C}$  for 4h.

**Key Words :** Microwave dielectric property,  $(\text{Pb}_{0.4}\text{Ca}_{0.6})(\text{Fe}_{1/2}\text{Nb}_{1/2})-\text{Pb}(\text{Zn}_{1/2}\text{W}_{1/2})\text{O}_3$ ,  $0.975\text{PbO}-0.025\text{SnO}_2$ , Flux

#### 1. 서 론

전자 산업과 휴대 통신의 발달에 따라 마이크로파를 이용하는 각종 이동 통신 기기나 정보 시스템 보급이 급속히 증대되고 있으며 이에 따라 이 대역에서 동작하는 부품의 중요성이 부각되고 있다. 유전체 공진기(Dielectric resonator)로 구성되어 있는 유전체 필터나 듀플렉서, 밸진기 등은 동작 출력이 크고 높은 주파수에서도 쉽게 필터를 제작할 수 있을 뿐만 아니라 다른 소자로 구성되

\* : 수원대학교 전자재료공학과  
(경기도 화성군 봉담읍 와우리 수원대학교)

Fax: 031-220-2699  
E-mail: dhkang@suwon.ac.kr

\*\* : 수원대학교 전자공학과  
\*\*\* : 수원대학교 전기공학과

2002년 9월 24일 접수, 2002년 10월 15일 1차 심사완료,  
2002년 10월 29일 최종 심사완료

는 경우보다 우수한 주파수의 온도 안정성, 저손실, 고신뢰성 등의 특징에 기인하여 현재 셀룰러 이동통신용 단말기의 핵심 부품으로 많이 이용되고 있다. 공진기의 소형화가 큰 관심의 대상이 되면서 저 유전율 공진기보다 손실값은 비교적 더 크지만 유전상수를 높이는데 주력하고 있기 때문에 연구개발은 고 유전율( $\epsilon_r > 70$ ) 유전체 공진기 개발 쪽으로 진행되면서  $(\text{Pb}, \text{Ca})(\text{Me}, \text{Nb})\text{O}_3$ 계,  $(\text{Pb}, \text{Ca}, \text{Me})\text{ZrO}_3$ 계,  $\text{BaO}-\text{Ln}_2\text{O}_3-\text{TiO}_2$ 계가 집중적으로 연구되었다[1-3]. Dual Band 혹은 Multi-Band RF 부품에 대한 수요가 증가하면서 소형화가 강력히 요구되어지고 이에 따라 능동 부품들의 IC화의 가속화는 물론 수동 부품들의 경우에도 단품의 칩 소형화 혹은 블록화 함으로써 기판 내부에 수동소자를 넣고 그 위에 여러 칩들을 올려놓는 복합 소자 또는 복합 모듈화 기술이 도입되고 있다. 이러한 복합화 공정 관점에서 주요한 저온

동시 소결에 연계된 유전체 조성, 전극 조성 및 공정에 관한 연구가 활발히 진행되고 있다[4]. 그 중 핵심적인 내용인 LTCC 기술은 낮은 유전율(6~8)을 가지고 있어 필터 등을 구현했을 경우 크기가 매우 길어지는 문제가 있다. ( $\lambda/4$ 공진기 경우, 1GHz에서 2.5cm) 따라서 RF디바이스의 뚜렷한 소형화는 LTCC 기술에서 800°C~900°C에서 소결되는 중유전율(20~30, 60~70)을 갖는 유전체의 개발과 이를 서로 다른 유전율을 가지는 재료들 사이에 화학적, 열기계적 친화성을 갖게 함으로써 모노리티크 다중 유전체 적층을 이룸으로써 가능할 것으로 예상된다. 이러한 유전체로서 Pb계 마이크로파 재료는 (Pb,Ca) ZrO<sub>3</sub> 재료가 있는데 이 재료의 마이크로파 특성은  $k=160$ , 1MHz에서  $\tan \delta = 0.005$ 이며 이는 다른 perovskite 마이크로파 유전체보다 특성 면에서 떨어지는 결과를 나타내었다. 그러나 최근 들어 1000°C부근에서 소결 가능한 재료 개발에 대한 관심이 높아지면서 Kato등[5]에 의해 일반식 (Pb,Ca)(Me,Nb)O<sub>3</sub> 대한 재료의 마이크로파 특성 연구가 진행되어 (Pb0.45Ca0.55)(Fe0.5Nb0.5)O<sub>3</sub> 세라믹스는  $k=91$ ,  $Q \cdot f=4950$ ,  $TCF=+2.6\text{ppm}/^{\circ}\text{C}$ 의 특성을 갖고 1100°C에서 소결이 가능하다고 보고하였다. 이밖에 Nakano등[6]은 이 (Pb,Ca)(Fe,Nb)O<sub>3</sub> 계에 PFW등의 소결 조제를 첨가하여 소결 온도를 낮추려고 시도하였으나 마이크로파 특성이 저하되는 결과를 초래하였다.

본 연구에서는 (Pb, Ca)(Fe1/2Nb1/2)O<sub>3</sub>에 Pb(Zn1/2 W1/2)O<sub>3</sub>를 고용시킨 기본 site에 액상 소결을 유도하기 위하여 낮은 용융점을 가진 Pb계 flux(0.975PbO-0.025SnO<sub>2</sub>)를 첨가하여 첨가량 및 온도에 따른 소결 거동 및 마이크로파 대역에서의 유전특성을 조사하였다.

## 2. 실험

### 2.1 시편준비

출발 물질로 고순도의 PbO, CaCO<sub>3</sub>, Fe<sub>2</sub>O<sub>3</sub>, Nb<sub>2</sub>O<sub>5</sub>, ZnO, WO<sub>3</sub>, SnO<sub>2</sub>를 사용했으며 분말 합성은 일반적인 산화물 혼합법으로 행하였다. 표 2-1의 기본 조성식에 따라 전자 천평을 사용하여 평양하여 ball mill에서 ethyl alcohol을 mixing agent로 하여 습식 분쇄 하였다. 혼합된 시료를 건조한 후 900°C에서 4시간 동안 합성하였다. 합성된 분말에 Pb계 flux(0.975PbO-0.025SnO<sub>2</sub>)를 혼합, 분쇄 및 체거름을 하여 원료분말을 조립하였다. 조립된

분말을 5wt% PVA를 사용하여  $\phi 12\text{mm}$ 의 원반형으로 일축 가압 성형하였다. 이렇게 성형한 시편은 PbO의 휘발을 방지하기 위하여 이중 도가니[7] 및 PbZrO<sub>3</sub> 분위기 분말을 사용하여 1000~1150°C에서 4시간 동안 소결하였다.

표 2-1. PCFN-PZW 조성.

Table 2-1. Compositions of PCFN-PZW.

0.9(Pb <sub>0.4</sub> Ca <sub>0.6</sub> )(Fe <sub>1/2</sub> Nb <sub>1/2</sub> )-0.1Pb(Zn <sub>1/2</sub> W <sub>1/2</sub> )O <sub>3</sub>	
flux	0.975PbO-0.025SnO <sub>2</sub>
content (wt%)	0, 1, 2, 2.5, 3, 4, 5

### 2.2 측정 및 분석

각 조성별로 1000°C~1150°C에서 소결한 시편들을 X-선 회절 분석기(Rigaku Co., Japan)를 사용하여 각 조성 및 소결 온도의 변화에 따른 상변화를 조사하였고 시편을 소결 시편의 결정립 크기와 2차상 생성 여부 등을 관찰하기 위해서 거울면으로 연마 후 850°C~950°C 범위에서 30분간 thermal etching하여 EDS가 장착된 SEM(R J Lee, USA)으로 분석하였다. 마이크로파 유전 특성은 Hakki 와 Coleman[8]에 의해 제시되고 Kobayashi 와 Tanaka[9]가 보정한 resonant post method를 사용하여 측정하였다.

## 3. 결과 및 고찰

### 3.1 XRD 분석결과

그림 3-1은 0.9(Pb<sub>0.4</sub>Ca<sub>0.6</sub>)(Fe<sub>1/2</sub>Nb<sub>1/2</sub>)-0.1Pb(Zn<sub>1/2</sub>W<sub>1/2</sub>)O<sub>3</sub>계(이하 0.9PCFN-0.1PZW)에 용융점이 850°C인 0.975PbO-0.025SnO<sub>2</sub>(이하 PS)를 5.0wt%까지 첨가, 1000°C에서 4시간 소결한 시편의 X-선 회절 분석 결과이다. PCFN에 10mol%까지 PZW 치환한 경우 pyrochlore상이 없는 단일상의 perovskite상을 유지하였으며 PS가 3wt%까지 첨가시 perovskite 단일상을 계속 유지하였으나 5.0wt% 첨가되었을 때에는 perovskite상과 함께 PbO상이 함께 나타났다. 이는 flux로부터 과잉 첨가된 PbO에 의한 결과라 생각되며 SnO<sub>2</sub>가 상대적으로 낮은 flux 조성에 기인하여 SnO<sub>2</sub>에 연계된 이차상은 XRD 측정 한계 내에서 확인되지 않았다.

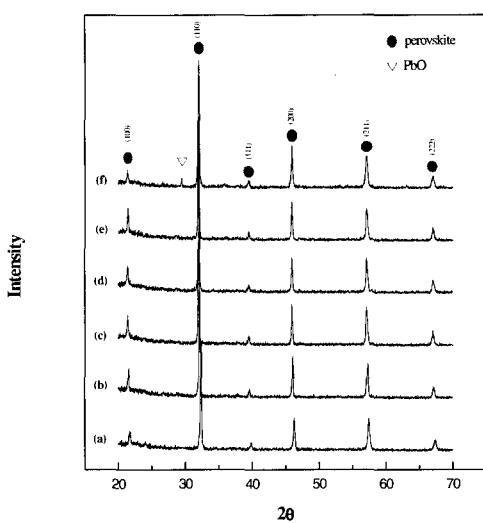


그림 3-1. 1000°C에서 4시간 소결한 0.9PCFN-0.1PZW 시편의 0.975PbO-0.025SnO<sub>2</sub> 첨가량에 따른 XRD 패턴  
(a) 0wt%, (b) 1wt%, (c) 2wt%,  
(d) 2.5wt%, (e) 3wt% and (f) 5wt%.

Fig. 3-1. XRD patterns of 0.9PCFN-0.1PZW specimens sintered at 1000°C for 4h with 0.975PbO-0.025SnO<sub>2</sub> ;  
(a) 0wt%, (b) 1wt%, (c) 2wt%,  
(d) 2.5wt%, (e) 3wt% and (f) 5wt% .

### 3.2 Density and Microstructure

예비실험결과 PZW가 치환되지 않은 순수한 PCFN은 1050°C에서 열처리하였을 때 밀도가 4.108 g/cm<sup>3</sup>(상대밀도 64%)정도로 거의 소결되지 못하였으나 PZW를 고용한계량인 10mol%를 첨가하여 동일온도에서 열처리시 밀도가 6.194 g/cm<sup>3</sup>(상대밀도 96%)정도로 높은 소결성을 보였다.

그림 3-2는 0.9PCFN-0.1PZW에 PS를 5.0wt%까지 첨가시켜 1000°C와 1050°C에서 각 4시간 소결한 시편의 밀도 변화를 나타낸 것이다. 1050°C 소결시편의 경우 10mol% PZW 첨가 효과와 더불어 2.0wt% PS조성에서 밀도 최대치를 보이고 그 이상 첨가시 약간 감소하였으나 반면 1000°C 소결시편의 경우, PS첨가에 따라 전형적인 액상 소결 효과에 기인, 밀도 급증 현상을 보이며 2.0~2.5wt% PS조성에서 1050°C 소결 시편 최대치와

유사한 우수한 소결효과를 나타내었다.

그림 3-3은 PS를 5.0wt%까지 첨가한 0.9PCFN-0.1PZW계 세라믹스를 1000°C에서 4시간 소결한 시편의 미세구조 사진이다. 일반적으로 소결 후 시편의 결정립의 크기를 결정하는 요인은 소결 과정 중의 소결 구동력인데 이를 구성하는 인자로는 하소 분말의 입도, 소결 온도, 소결시 유지시간, 그리고 액상 소결일 경우에는 액상을 형성하는 flux의 양과 종류 등을 들 수 있다[10].

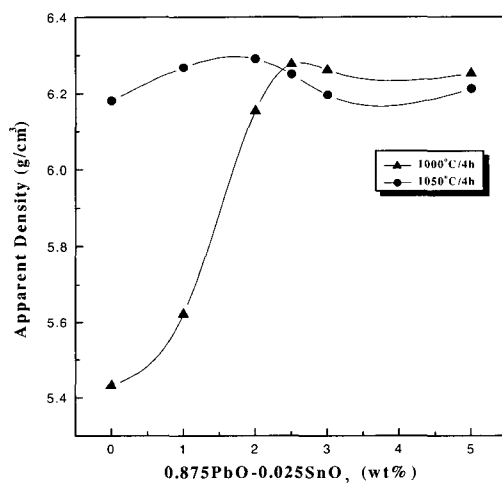


그림 3-2. 0.975PbO-0.025SnO<sub>2</sub> 첨가량에 따른 0.9PCFN-0.1PZW 시편의 밀도.

Fig. 3-2. Apparent density of 0.9PCFN-0.1PZW specimens as a function of 0.975PbO-0.025SnO<sub>2</sub> contents.

PS를 2.0wt%이상 첨가시, 1.0wt% 첨가했을 때 보다 두드러진 입자 성장 및 치밀한 표면을 확인할 수 있으며, 첨가량이 증가함에 따른 과잉 첨가에 따라 불균일한 입자 성장이 관찰되었으며 특히 5.0wt%이상 첨가시에는 입체 부피 증대, 기공 생성현상 및 입계를 중심으로 생성된 이차상이 존재함을 확인하였고 이러한 이차상의 조성은 EDS분석을 통해 Pb-rich 2nd phase임을 확인할 수 있다.

### 3.3 Dielectric Properties

PCFN에 10mol% PZW 치환한 경우 1050°C 소

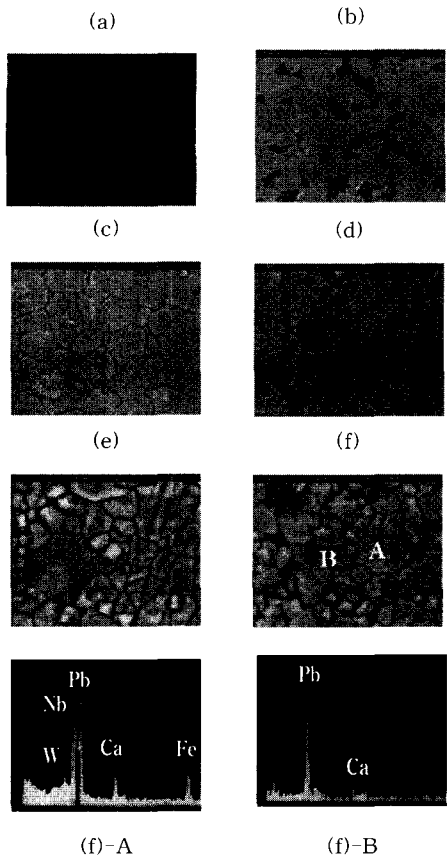


그림 3-3. 1000°C에서 4시간 소결한 0.9PCFN-0.1PZW 시편의 0.975PbO-0.025SnO<sub>2</sub> 첨가량에 따른 미세구조 사진 ;  
 (a) 0wt%, (b) 1.0wt%, (c) 2.0wt%,  
 (d) 2.5wt%, (e) 3.0wt%, (f) 5.0wt%  
 (bar = 2 μm).

Fig. 3-3. SEM photographs of 0.9PCFN-0.1PZW specimens sintered at 1000°C for 4h with 0.975PbO-0.025SnO<sub>2</sub> ;  
 (a) 0wt%, (b) 1.0wt%, (c) 2.0wt%,  
 (d) 2.5wt%, (e) 3.0wt%, (f) 5.0wt%  
 (bar = 2 μm)

결시 유전상수가 약 51%정도 증가한 반면 Q·f 증진 효과는 그다지 높지 않았다. 1000°C 소결 시 PZW를 치환하지 않은 PCFN시편의 미소결에 기인, 마이크로파 특성을 측정할 수 없었다.

그림 3-4는 0.9PCFN-0.1PZW계에 PS를 첨가하

여 1000°C와 1050°C에서 소결시킨 시편의 유전 상수와 Q·f 특성을 나타낸 것이다. 1000°C 소결 조건을 보면 첨가량이 3.0wt% 까지는 유전 상수 역시 증가 하였고 그 이상 첨가시 약간 감소하였다. 또한 Q·f는 2.5wt%까지는 첨가량과 함께 증가하여 최고값을 나타내었으며 그 이상 첨가시 감소하였다. 일반적으로 유전 상수는 조성에 의존하여 결정되지만 동일 조성에서는 밀도가 높을 수록, 이차상 등이 입계에 존재하지 않을 수록 높은 유전 상수를 나타내는 것으로 알려져 있다[11,12]. PS 첨가량에 비례하여 유전 상수가 증가하는 원인은 유전 상수가 밀도 변화에 관계하여 0.9PCFN-0.1PZW보다 낮은 용융점을 갖는 PS를 첨가함으로써 액상 소결을 유발, 결정립 성장과 함께 밀도가 증가하게 되며 이에 비례하여 유전 상수가 증가하게 된다고 생각된다.

또한 1000°C 소결 시편의 경우 3wt% 이상에서 유전상수 저하가 비교적 낮았는데 이는 그림 3-2에서 보여주는 밀도 변화와 관련된 것으로 사료된다.

Q·f 변화는, 미세구조 사진에서 볼 수 있듯이 2.5wt% 첨가까지는 액상 형성에 의한 결정립 성장과 치밀화에 의해 나타나는 결과라 생각되어지며 그 이상의 첨가 시에는 과잉 첨가에 의한 이차상

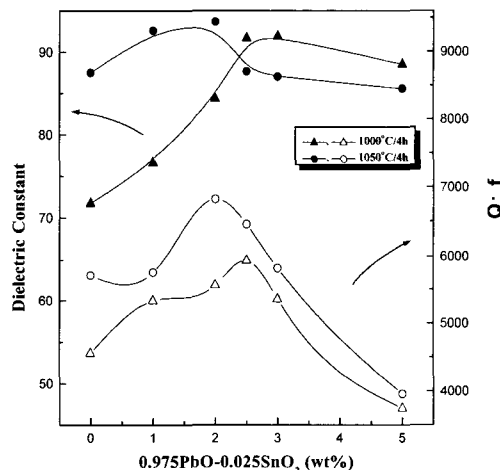


그림 3-4. 0.975PbO-0.025SnO<sub>2</sub> 첨가량에 따른 0.9PCFN-0.1PZW 시편의 유전특성.

Fig. 3-4. Dielectric properties of 0.9PCFN-0.1PZW specimens as a function of 0.975PbO-0.025SnO<sub>2</sub> contents.

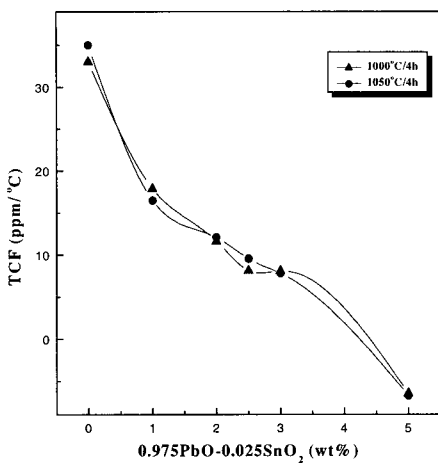


그림 3-5. 0.975PbO-0.025SnO<sub>2</sub> 첨가량에 따른 0.9PCFN-0.1PZW 시편의 공진주파수 온도계수.

Fig. 3-5. TCF of 0.9PCFN-0.1PZW specimens as a function of 0.975PbO-0.025SnO<sub>2</sub>.

과 기공 형성에 의한 유전손실의 증가에 의해 감소현상을 보였다고 생각된다. 이러한 현상은 그림 3-2 밀도-조성-소결온도 결과와 비교를 통해 확인할 수 있었다.

그림 3-5는 0.9PCFN-0.1PZW계에 PS를 첨가, 0wt%~5wt% 범위에서 변화하면서 1000°C와 1050°C에서 소결, 측정한 TCF 변화 특성이다. TCF값은 PS 첨가량이 증가 할수록 음의 방향으로 커졌는데 이는 Sergey 등[13]이 보고한  $(\text{Pb}_{1-x}\text{Ca}_x)\text{ZrO}_3$  및  $(\text{Pb}_{0.63}\text{Ca}_{(0.37-x)}\text{M}_x)\text{ZrO}_3$  ( $\text{M}=\text{Mg}, \text{Sr}$ ) 세라믹스의 고주파 유전특성, 전기전자재료학회논문지, 10권, 6호, p. 533, 1997.

#### 4. 결 론

복합 perovskite  $0.9(\text{Pb}_{0.4}\text{Ca}_{0.6})(\text{Fe}_{1/2}\text{Nb}_{1/2})-0.1\text{Pb}(\text{Zn}_{1/2}\text{W}_{1/2})\text{O}_3$  계 세라믹스에 저 용융점을 갖는 Pb 계 flux인 0.975PbO-0.025SnO<sub>2</sub>를 첨가 시 나타나

는 시편 소결성과 마이크로파 유전 특성에 대하여 연구하였다.

1. 0.9PCFN - 0.1PZW계에 PS 첨가시 3.0wt%까지는 단일상의 perovskite상을 얻었고 그 이상의 첨가 시에는 파잉 첨가에 의해 perovskite상과 함께 PbO-rich 상이 함께 나타났다.
2. PS첨가에 따라 입성장 및 치밀화가 이뤄졌고 각각 2.5wt%(1000°C소결,  $6.276\text{g}/\text{cm}^3$ ), 2wt% (1050°C소결,  $6.29\text{g}/\text{cm}^3$ ) 첨가시 밀도최대치를 나타냈다.
3. 마이크로파유전성은 밀도 및 미세구조특성에 의존하였으며 PS를 2.5wt% 첨가하여 1000°C, 4h 소결시 유전율은 91.65,  $Q \cdot f$ 는 5938이었고 그 이상 첨가 시에는 기공과 이차상등의 생성에 의한 밀도 저하에 기인하여 감소하였다.

#### 참고 문헌

- [1] H. Kagata and J. Kato, "Dielectric properties of Pb-based perovskite substituted by Ti for B-Site at microwave frequencies", Jpn. J. Appl. Phys., Vol. 32, No. 9B, p. 4332, 1993.
- [2] 윤종락, 이현용, "( $\text{Pb}_{(1-x)}\text{Ca}_x\text{ZrO}_3$  및  $(\text{Pb}_{0.63}\text{Ca}_{(0.37-x)}\text{M}_x)\text{ZrO}_3$  ( $\text{M}=\text{Mg}, \text{Sr}$ ) 세라믹스의 고주파 유전특성", 전기전자재료학회논문지, 10권, 6호, p. 533, 1997.
- [3] 이용석, 김준수, "BaO-Nd<sub>2</sub>O<sub>3</sub>-TiO<sub>2</sub>계 및 BaO-(Sm,Nd)<sub>2</sub>O<sub>3</sub>-TiO<sub>2</sub>계 마이크로파 유전체의 합성 및 제특성에 관한 연구", 전기전자재료학회논문지, 10권, 8호, p. 819, 1997.
- [4] J. Y. Hsu and W. S. Ko, "LTCC materials for high density multilayer interconnect", International Journal of Microcircuit and Electronic Packaging, Vol. 23, No. 3, p. 280, 2000.
- [5] J. Kato and H. Kagata, "Dielectric properties of  $(\text{PbCa})(\text{MeNb})\text{O}_3$  at microwave frequencies", Jpn. J. Appl. Phys., Vol. 31, p. 3144, 1992.
- [6] M. Nakano, K. Suzuki, and T. Miura, "Low-temperature-fireable dielectric material  $\text{Pb}(\text{Fe}_{2/3}\text{W}_{1/3})\text{O}_3-(\text{PbCa})(\text{Fe}_{1/2}\text{Nb}_{1/2})\text{O}_3$  for micro wave", Use Jpn. J. Phys., Vol. 32,

- No. 9B, p. 4314, 1993.
- [7] K. Okazaki, "Ceramic Engineering for Dielectrics", Gakken-sha, 1978.
  - [8] B. W. Hakki and P. D. Coleman, "A dielectric resonator method of measuring inductive capacitance in the millimeter range", IRETrans. Microwave Theory Tech., Vol. 8, p. 402, 1960.
  - [9] Y. Kobayashi and S. Tanaka, "Measurement of Complex Dielectric Constant by Columnar Dielectric Resonator", Institute of Electron & Communication Engineers of Japan, CPM, p. 72, 1972.
  - [10] 김효태, "CuO의 첨가가 Pb(Mg<sub>1/3</sub>Nb<sub>2/3</sub>)O<sub>3</sub>-PbTiO<sub>3</sub>세라믹스의 유전특성에 미치는 영향", 고려대학교, 1994.
  - [11] R. Kudesia and A. E. Michale, "Effect of La<sub>2</sub>O<sub>3</sub>/ZnO additives on microstructure and microwave dielectric properties of Zr<sub>0.8</sub>Sn<sub>0.2</sub>TiO<sub>4</sub> ceramics", J. Am. Ceram. Soc., Vol. 77, No. 12, p. 3215, 1994.
  - [12] 이기태, 남효덕, "PNN-PT-PZ계 암전세라믹스의 저온소결에 미치는 Flux의 영향", 전기 전자재료학회논문지, 6권, 6호, p. 537, 1993.
  - [13] S. Kucheyko, J. W. Choi, and H. J. Kim, "Microwave Characteristics of(Pb,Ca)(Fe,Nb, Sn)O<sub>3</sub> Dielectric Materials", J. Am. Ceram. Soc., Vol. 80, No. 11, p. 2937, 1997.